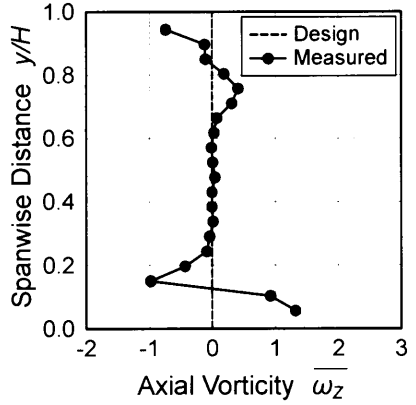
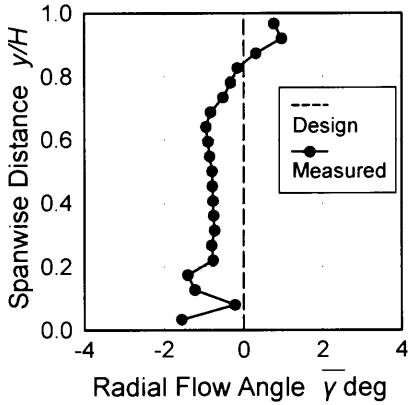
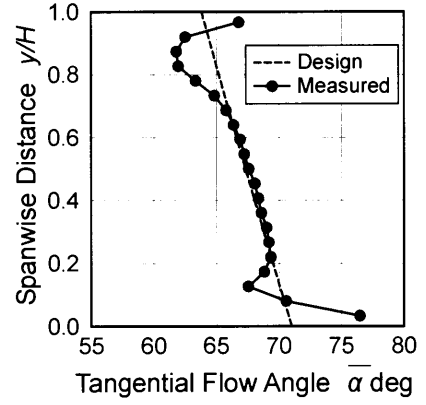
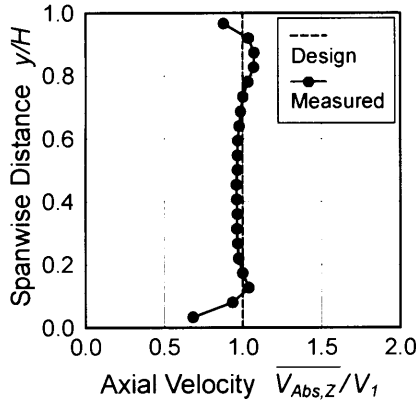
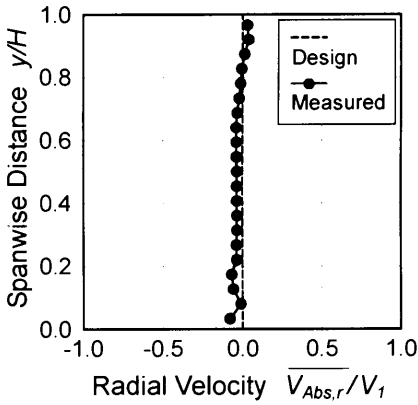
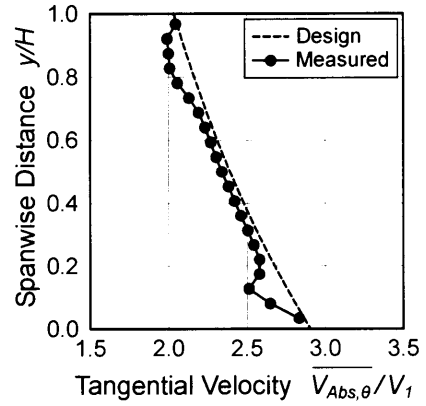
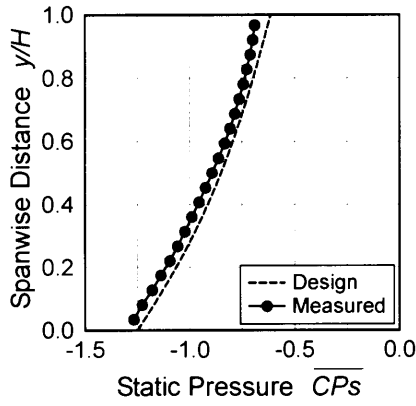
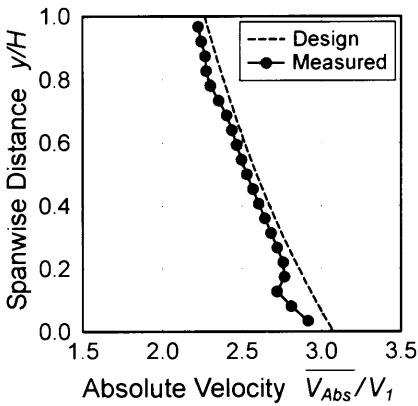
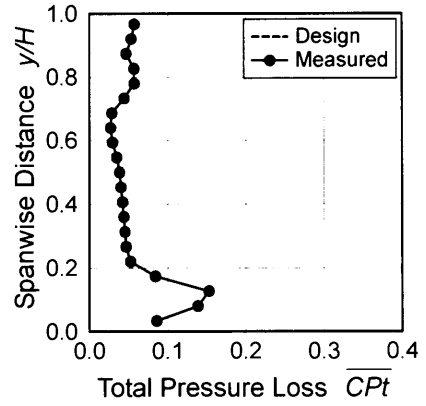
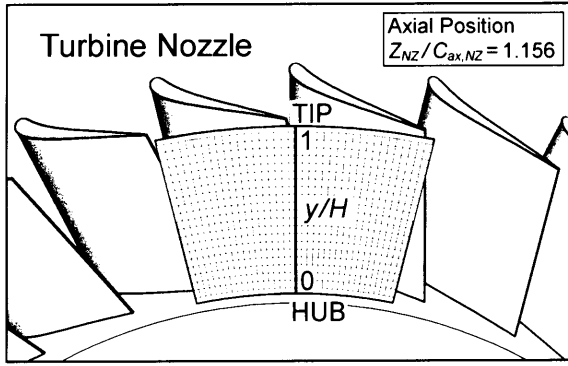
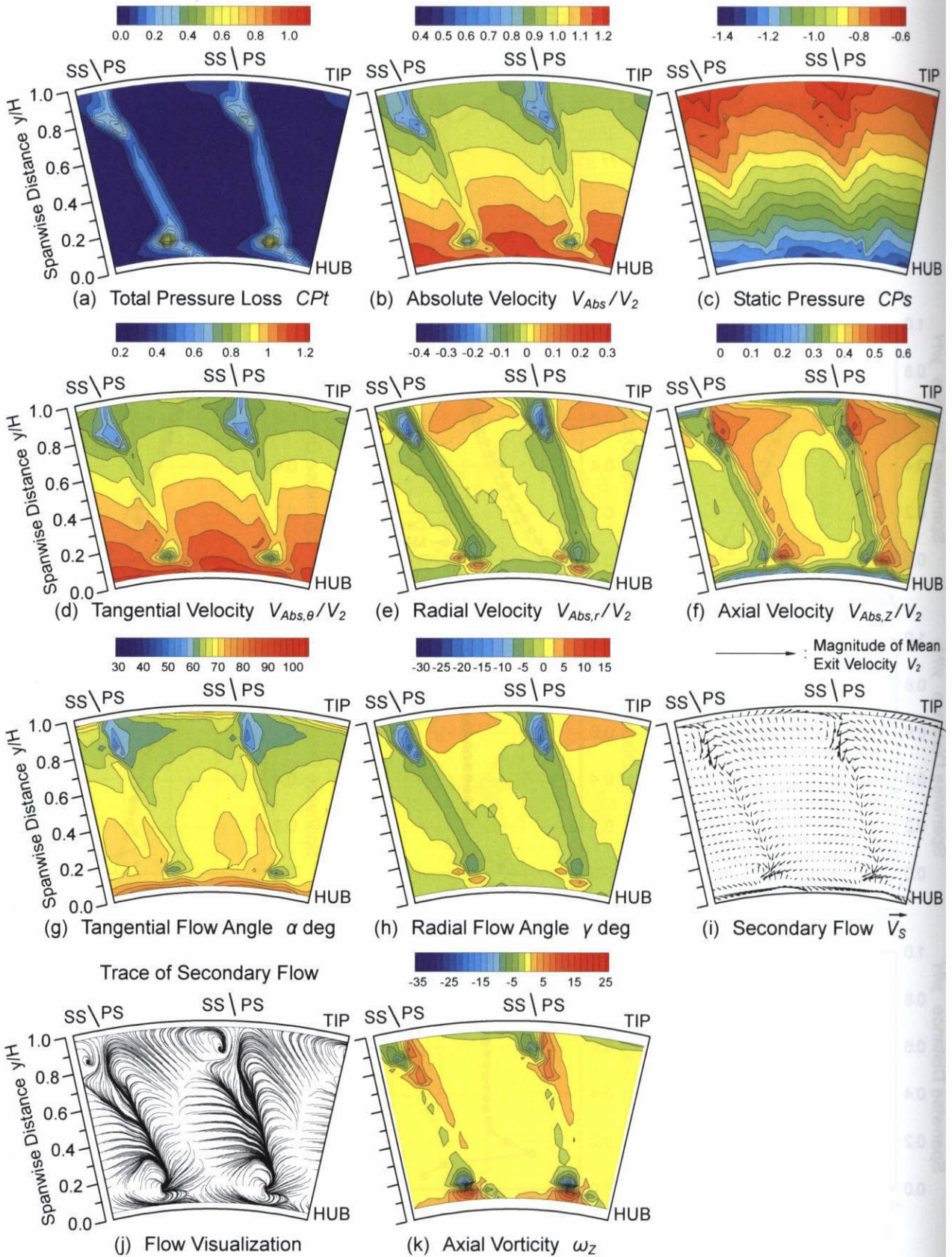


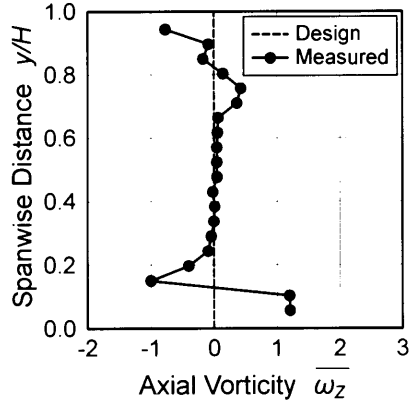
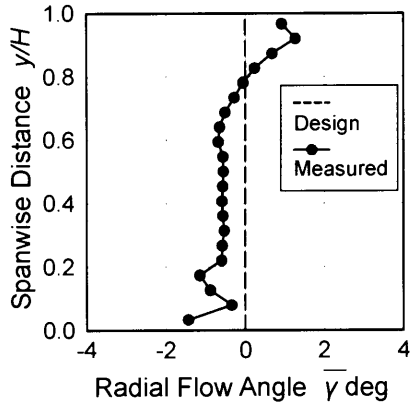
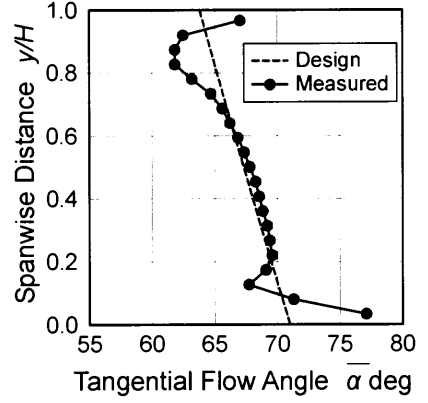
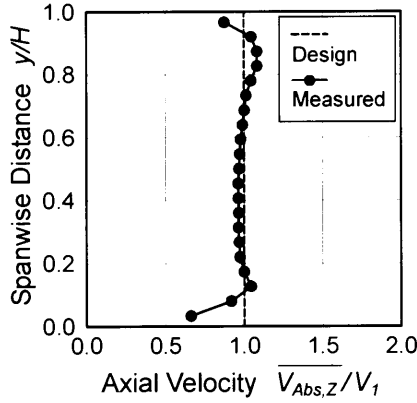
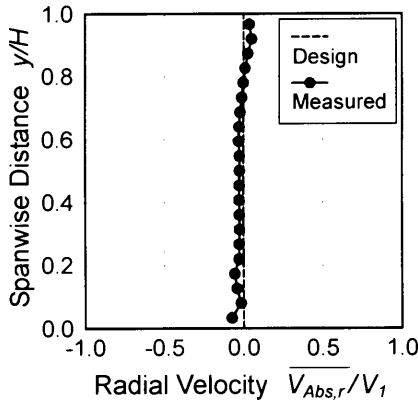
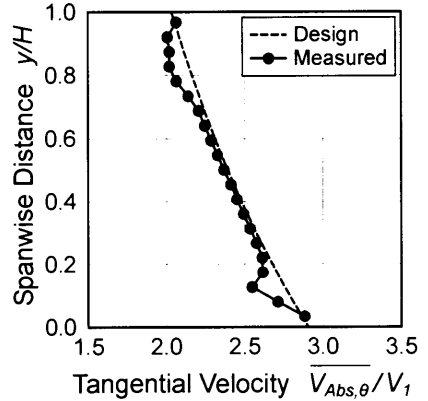
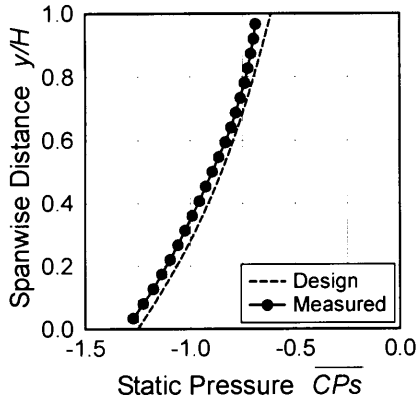
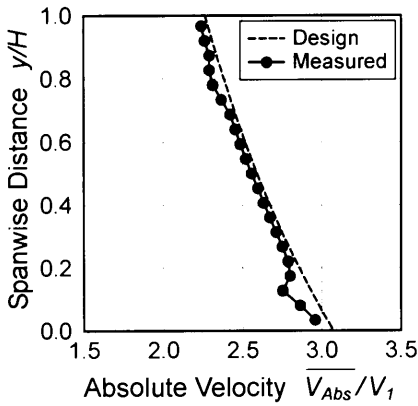
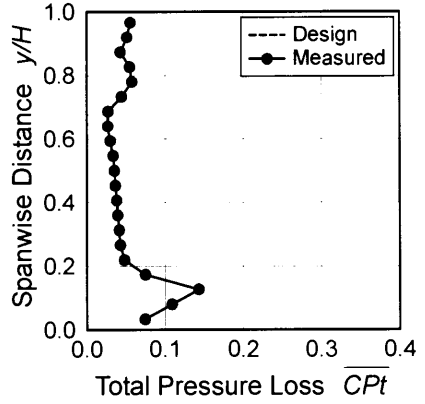
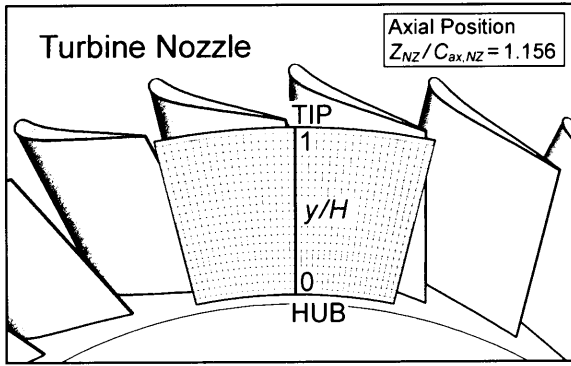
付図 2.17 レイノルズ数 $Re_{out,NZ} = 13.8 \times 10^4$, 主流乱れ度 $Tu_{in} = 1.3\%$, チップクリアランス $k/H = 0.00\%$ における静翼出口流れの測定結果 ($Z_{NZ}/C_{ax,NZ} = 1.156$)



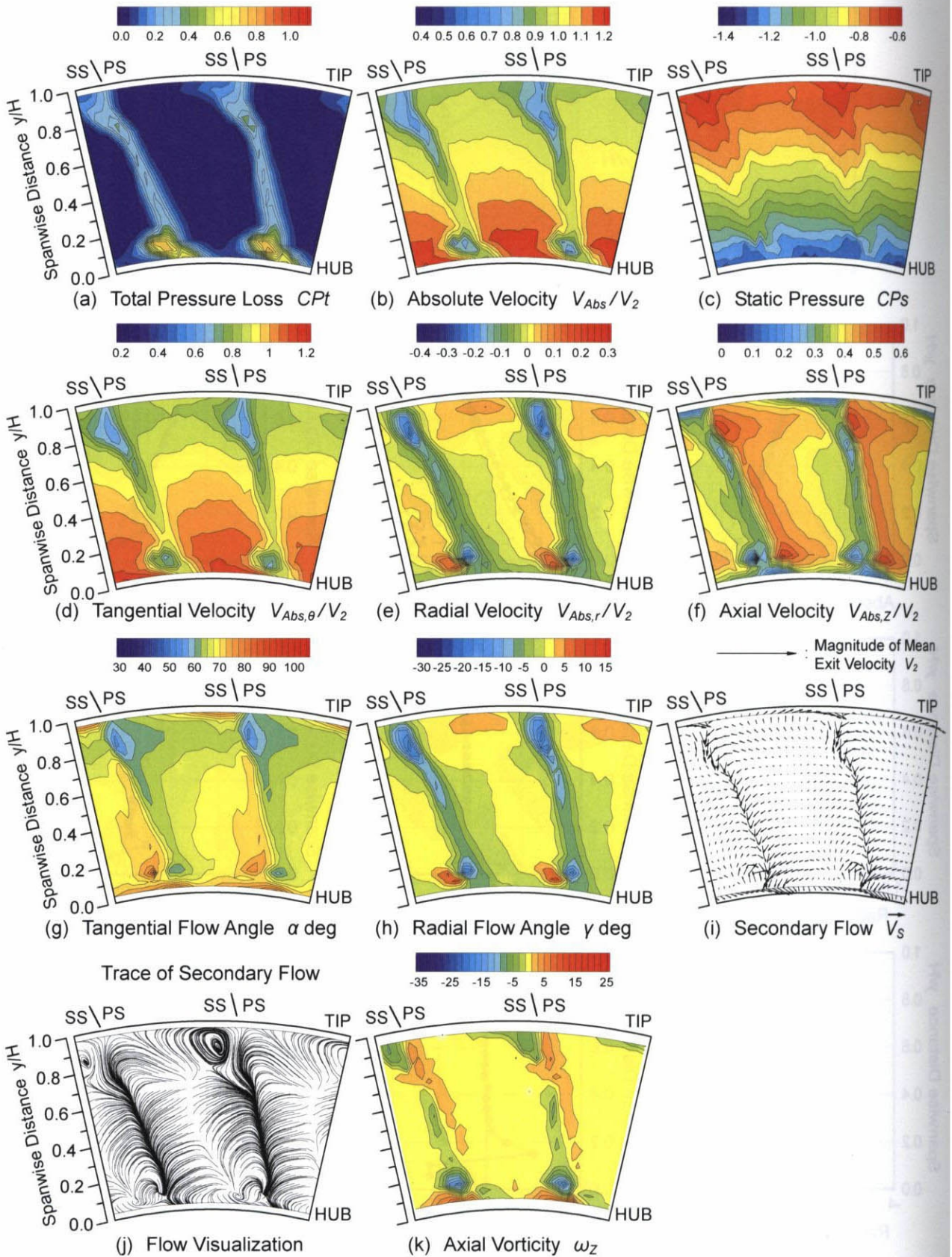
付図 2.18 レイノルズ数 $Re_{out,NZ} = 13.8 \times 10^4$, 主流乱れ度 $Tu_{in} = 1.3\%$, チップクリアランス $k/H = 0.00\%$ における静翼出口流れの半径方向分布



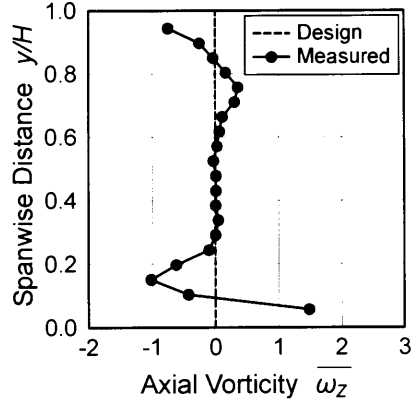
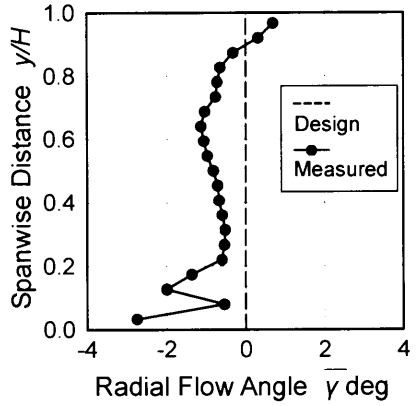
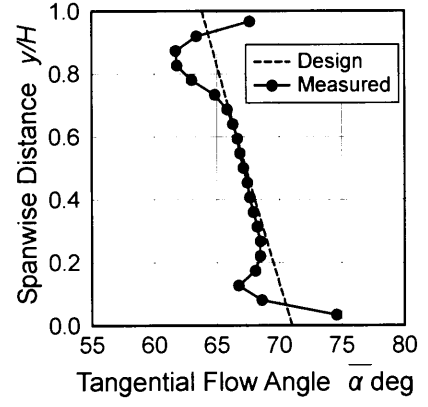
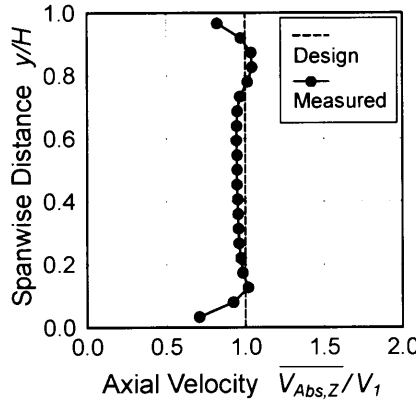
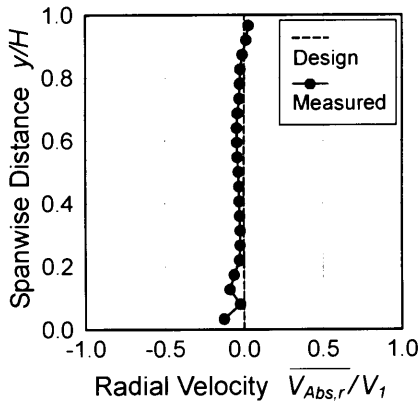
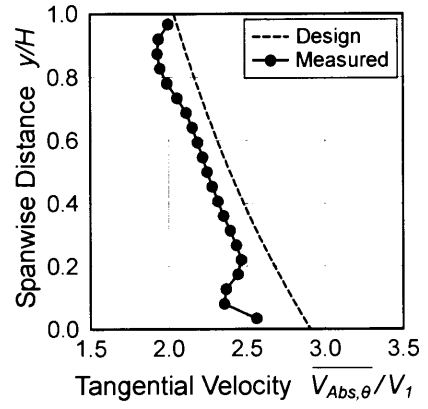
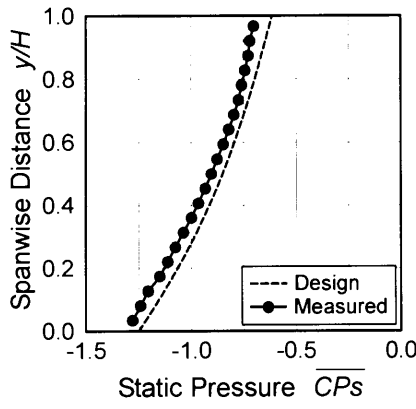
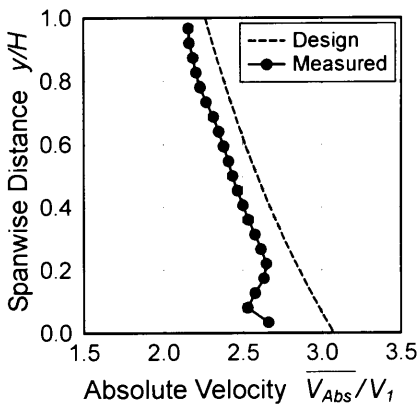
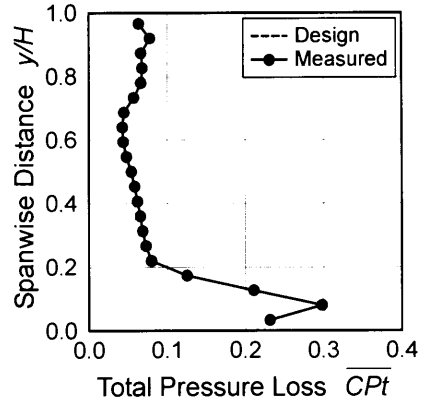
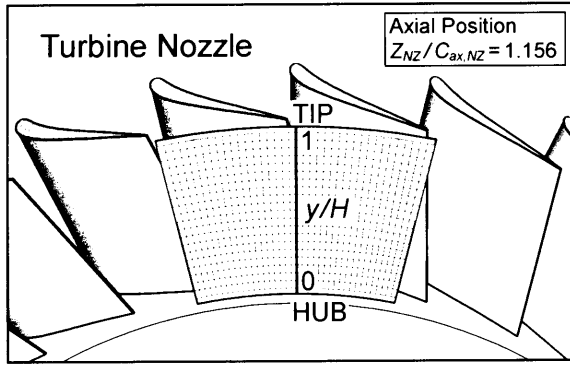
付図 2.19 レイノルズ数 $Re_{out,NZ}=18.1 \times 10^4$ 、主流乱れ度 $Tu_{in}=1.4\%$ 、チップクリアランス $k/H=0.00\%$ における静翼出口流れの測定結果 ($Z_{NZ}/C_{ax,NZ}=1.156$)



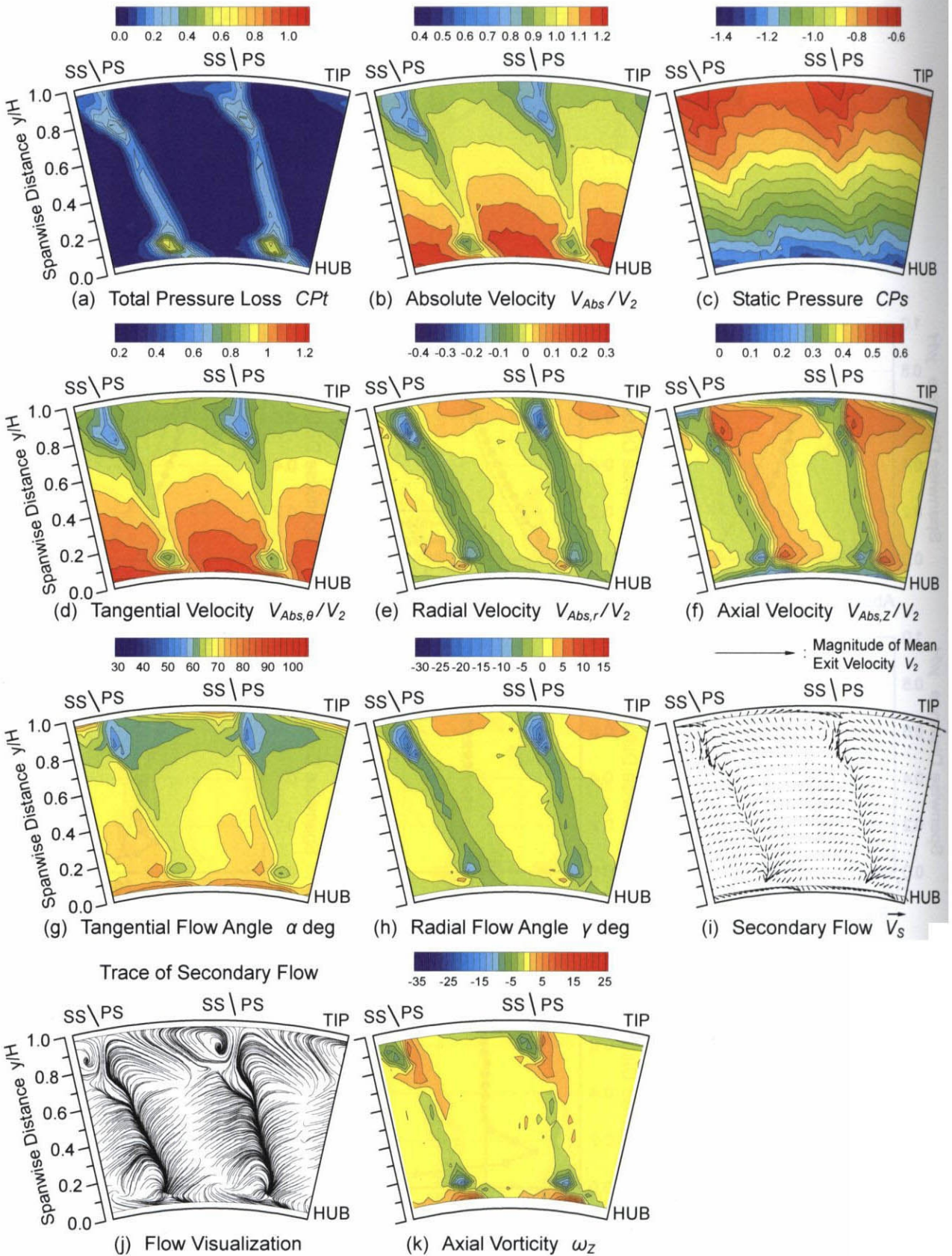
付図 2.20 レイノルズ数 $Re_{out,NZ} = 18.1 \times 10^4$, 主流乱れ度 $Tu_m = 1.4\%$, チップクリアランス $k/H = 0.00\%$ における静翼出口流れの半径方向分布



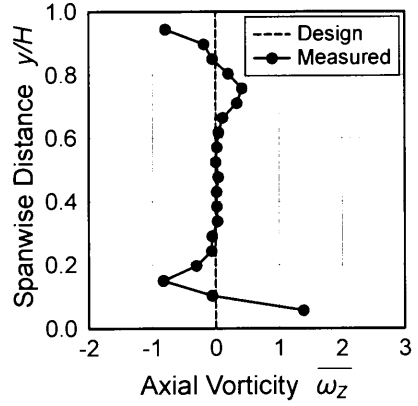
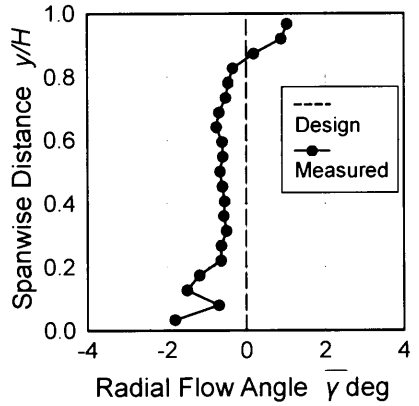
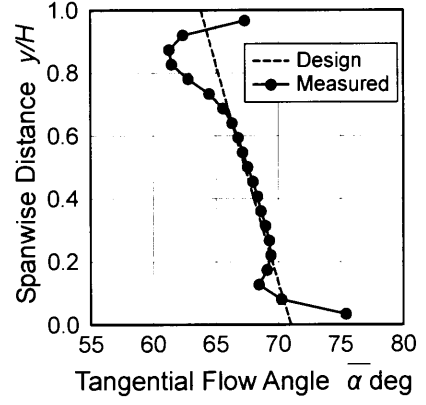
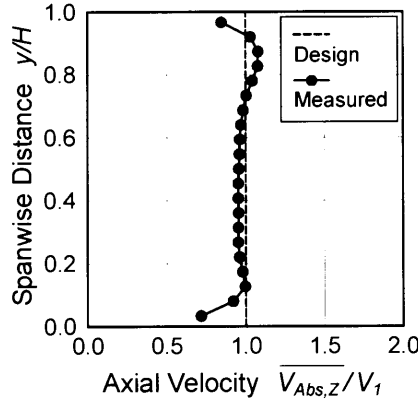
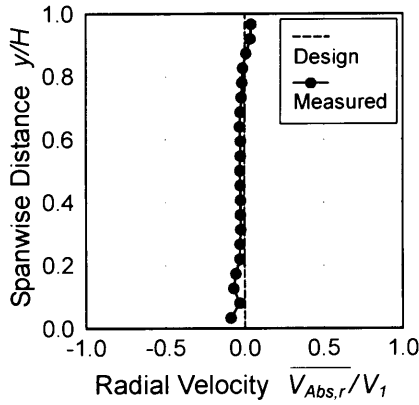
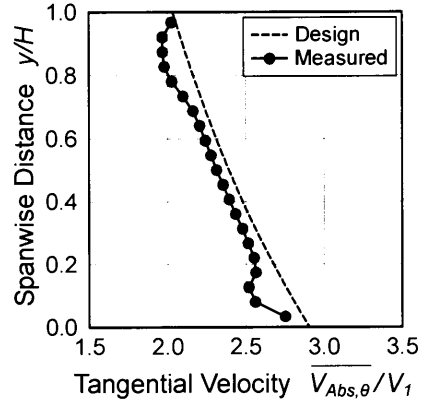
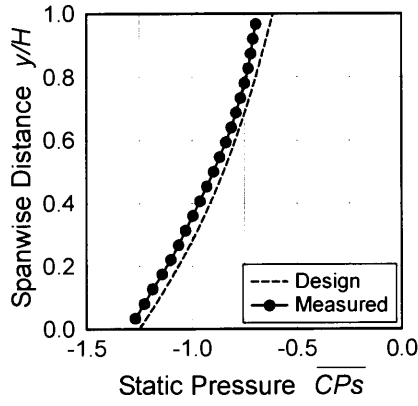
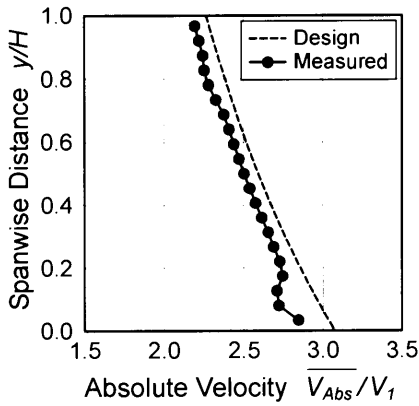
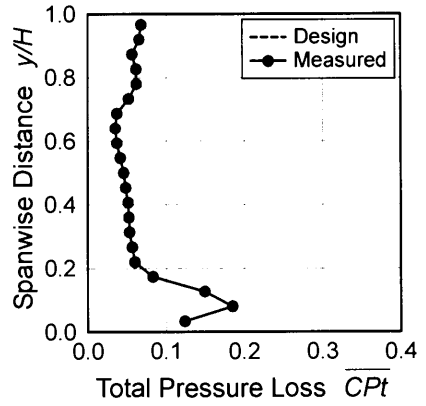
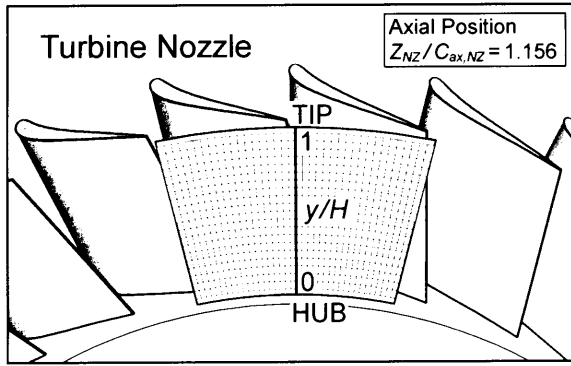
付図 2.21 レイノルズ数 $Re_{out,NZ}=4.5 \times 10^4$, 主流乱れ度 $Tu_{in}=2.8\%$, チップクリアランス $k/H=0.00\%$ における静翼出口流れの測定結果 ($Z_{NZ}/C_{ax,NZ}=1.156$)



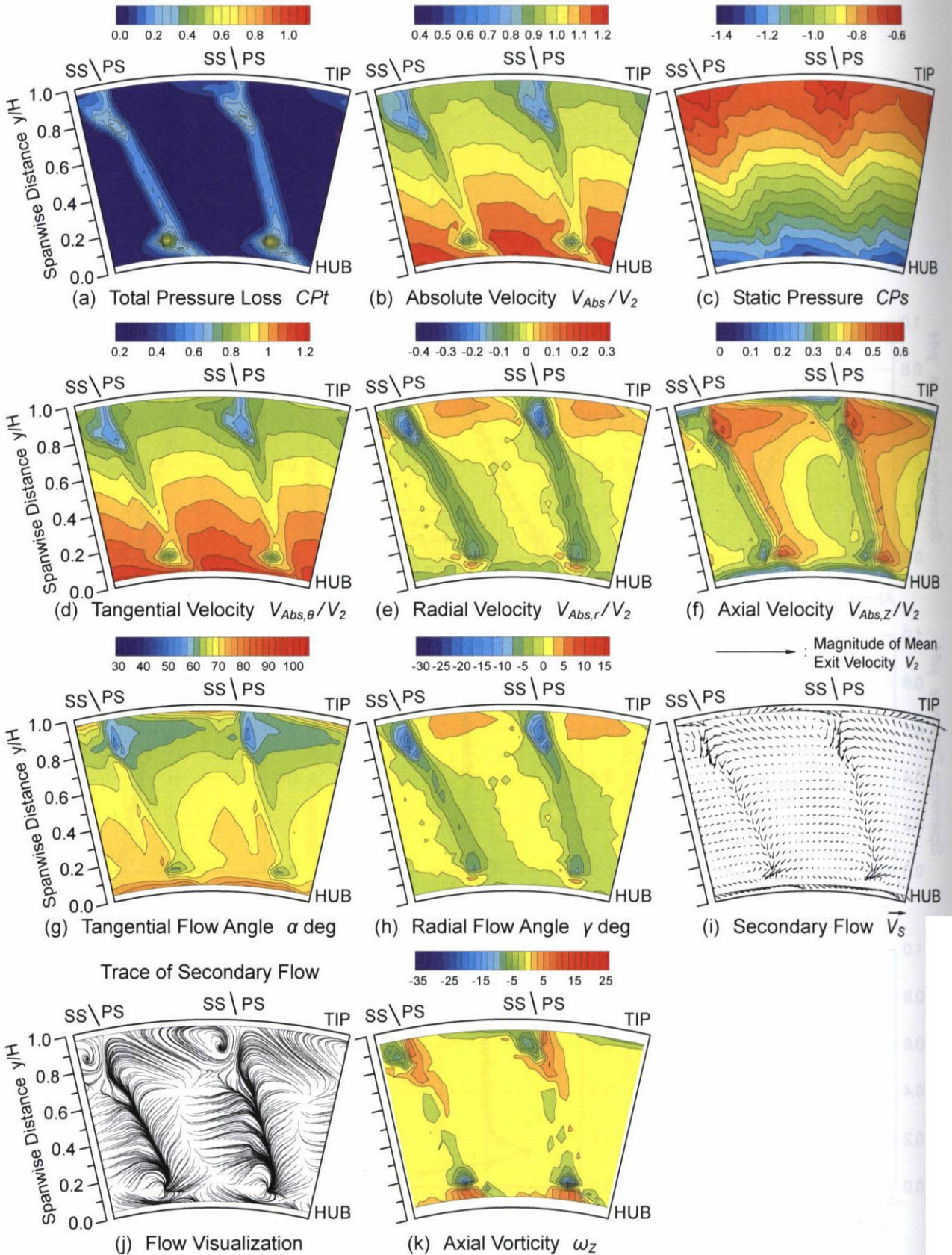
付図 2.22 レイノルズ数 $Re_{out,NZ} = 4.5 \times 10^4$, 主流乱れ度 $Tu_{in} = 2.8\%$, チップクリアランス $k/H = 0.00\%$ における静翼出口流れの半径方向分布



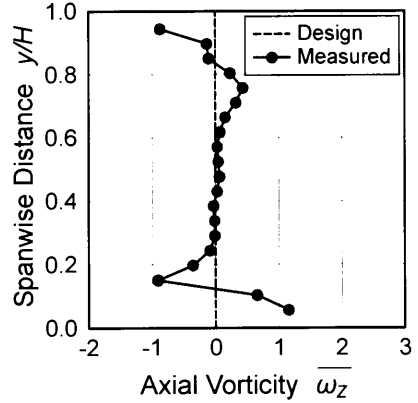
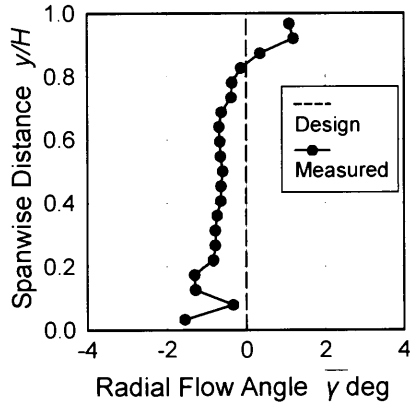
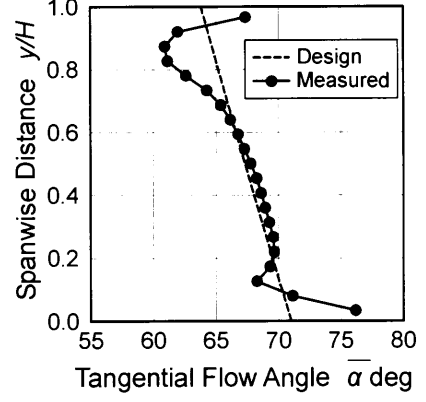
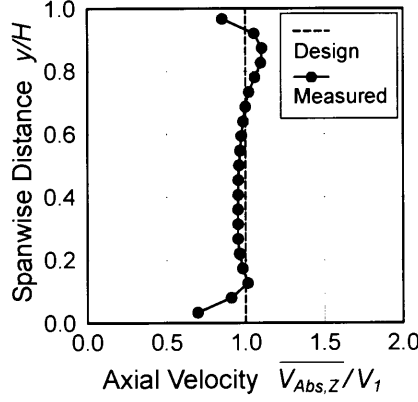
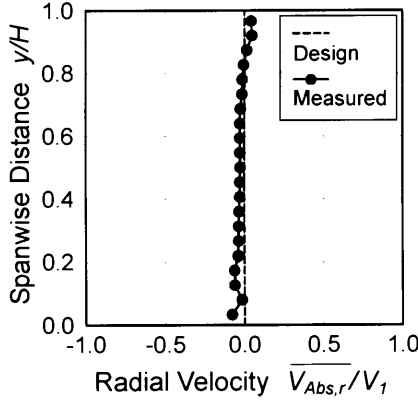
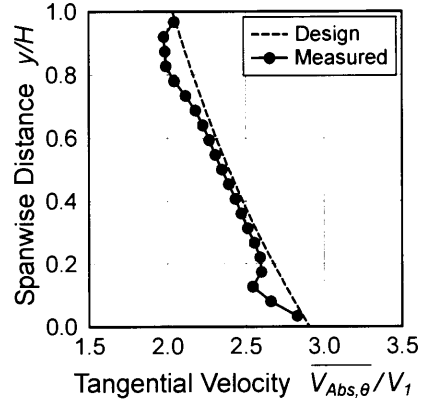
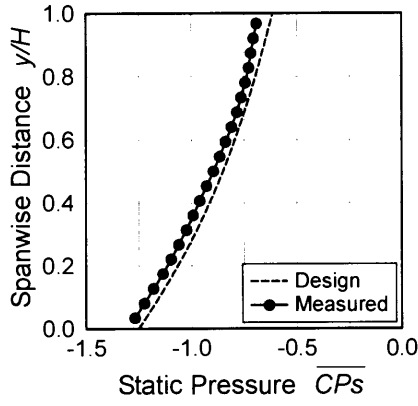
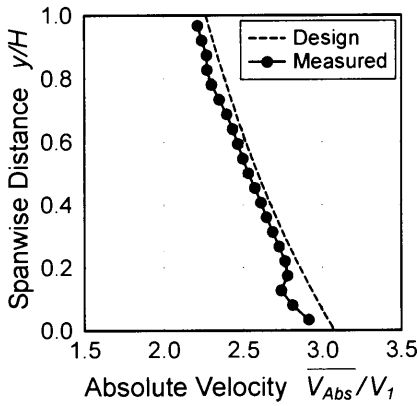
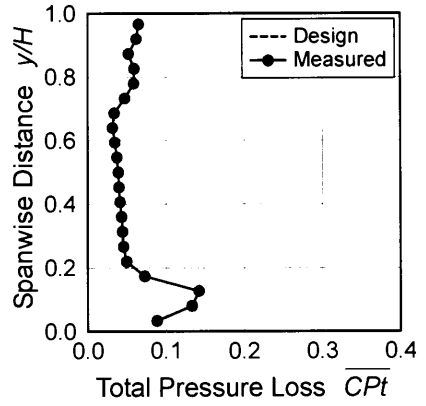
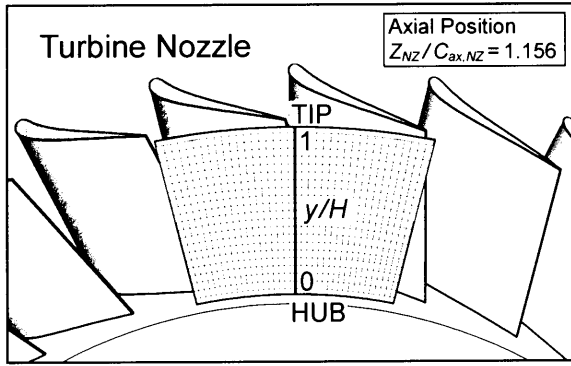
付図 2.23 レイノルズ数 $Re_{out,NZ}=9.1 \times 10^4$, 主流乱れ度 $Tu_{in}=3.6\%$, チップクリアランス $k/H=0.00\%$ における静翼出口流れの測定結果 ($Z_{NZ}/C_{ax,NZ}=1.156$)



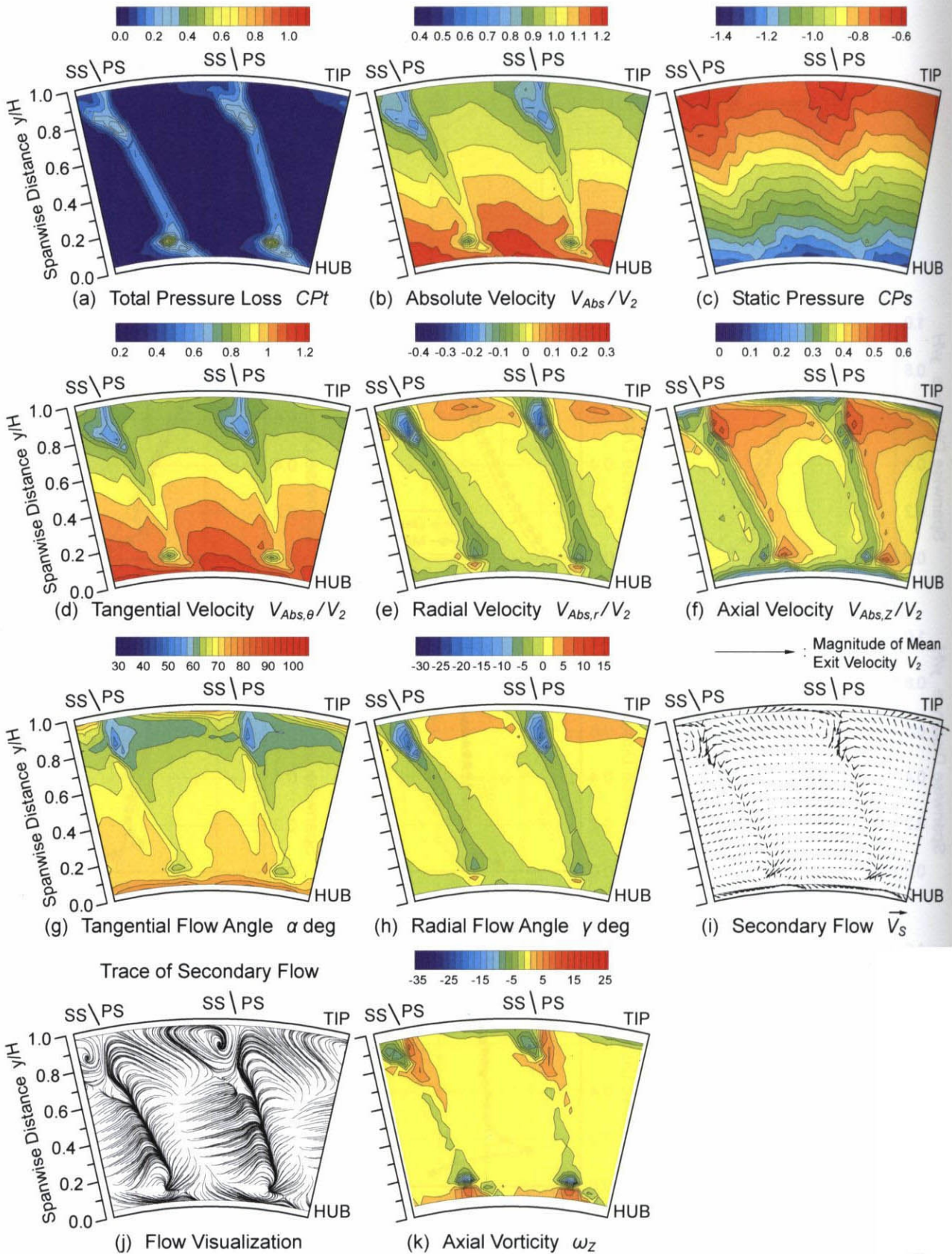
付図 2.24 レイノルズ数 $Re_{out,NZ} = 9.1 \times 10^4$, 主流乱れ度 $Tu_{in} = 3.6\%$, チップクリアランス $k/H = 0.00\%$ における静翼出口流れの半径方向分布



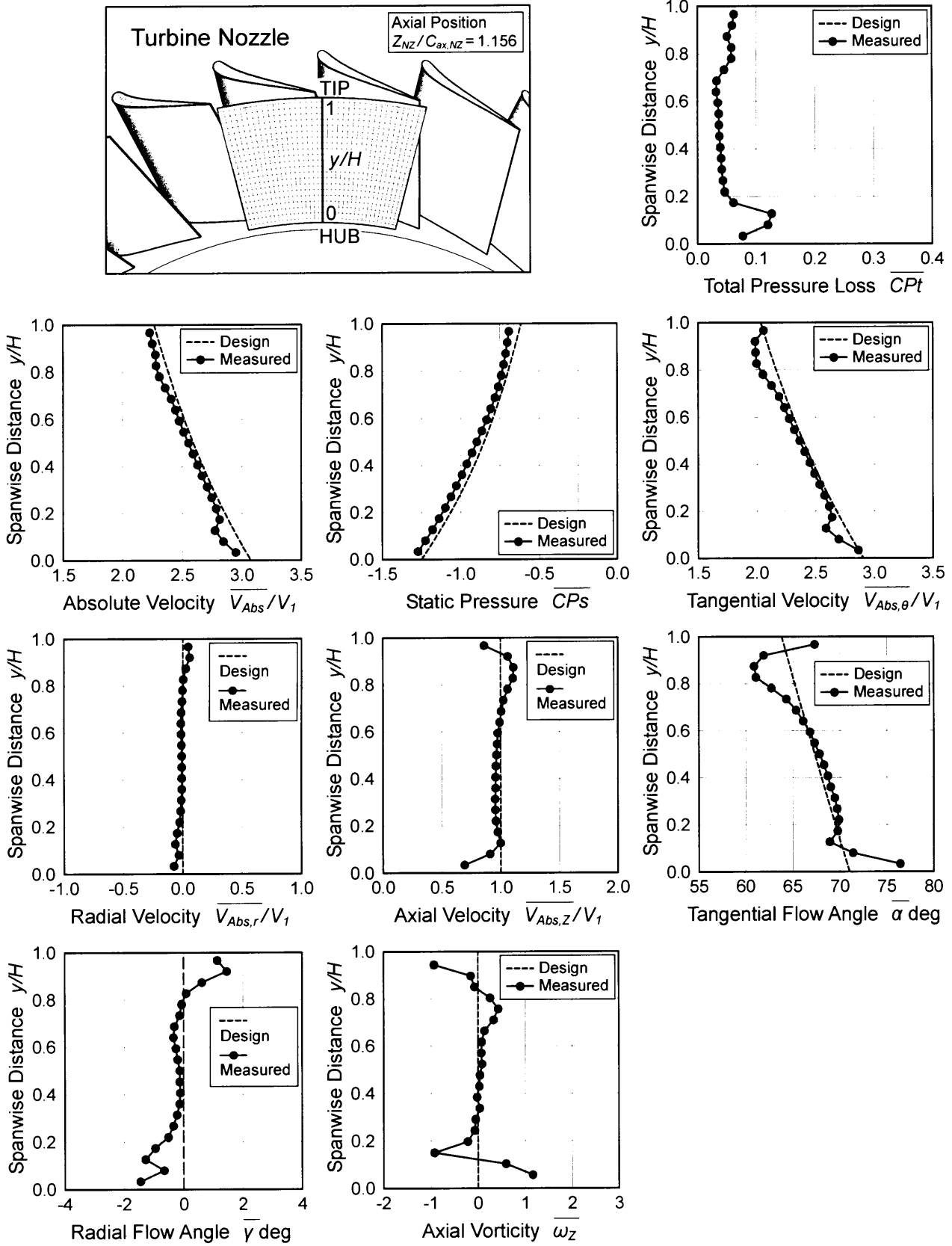
付図 2.25 レイノルズ数 $Re_{out,NZ}=13.7 \times 10^4$, 主流乱れ度 $Tu_{in}=4.1\%$, チップクリアランス $k/H=0.00\%$ における静翼出口流れの測定結果 ($Z_{NZ}/C_{ax,NZ}=1.156$)



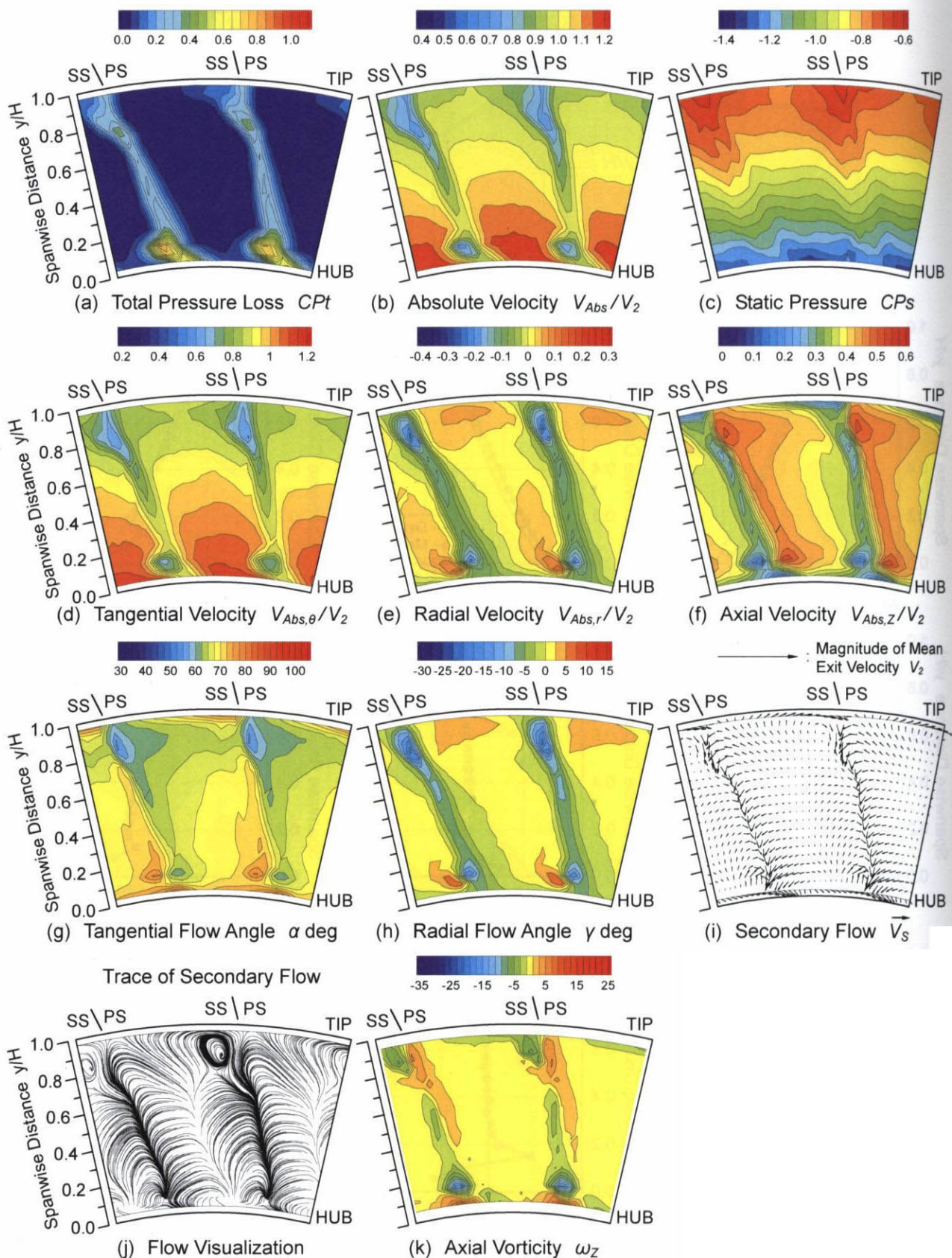
付図 2.26 レイノルズ数 $Re_{out,NZ} = 13.7 \times 10^4$, 主流乱れ度 $Tu_{in} = 4.1\%$, チップクリアランス $k/H = 0.00\%$ における静翼出口流れの半径方向分布



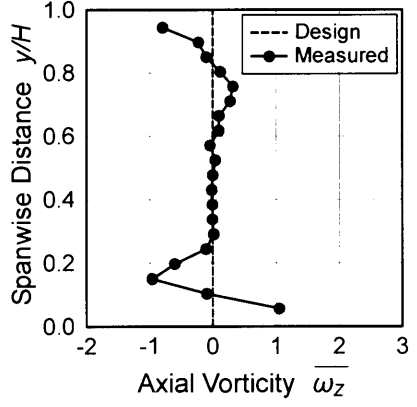
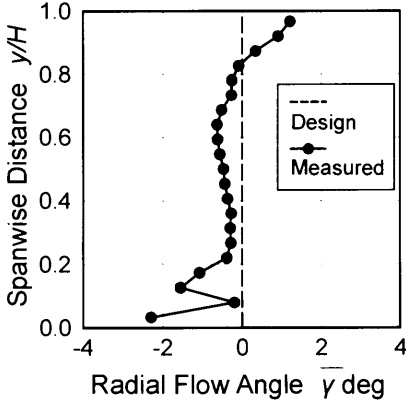
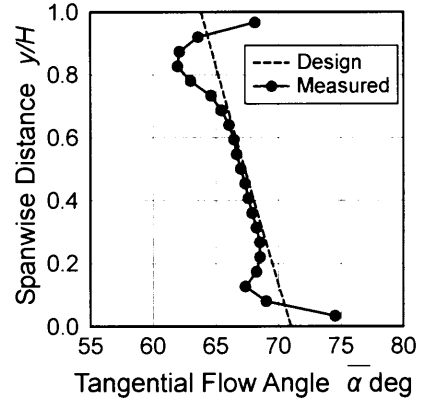
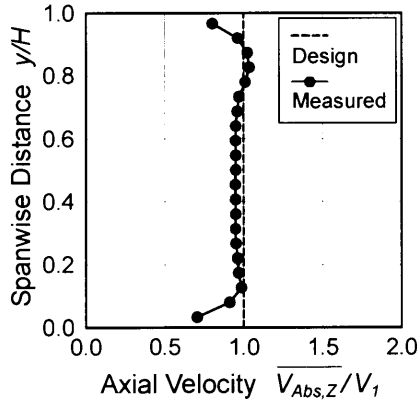
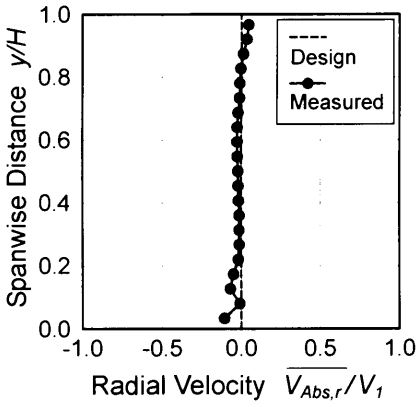
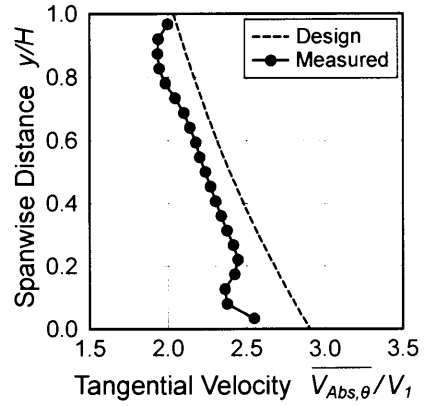
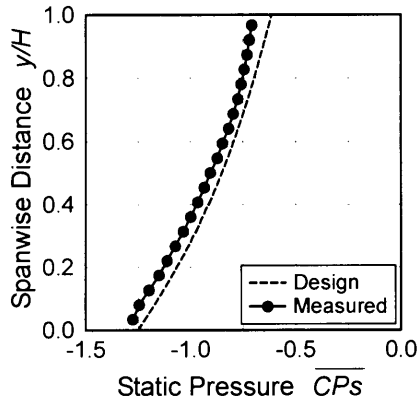
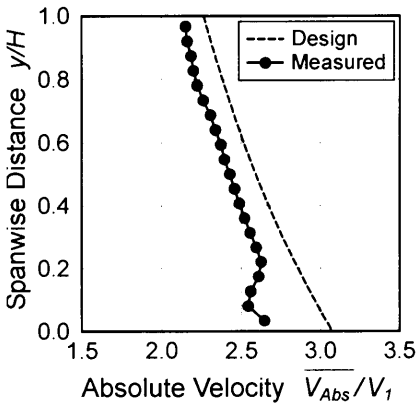
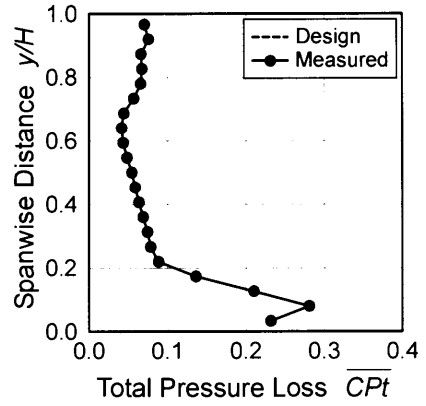
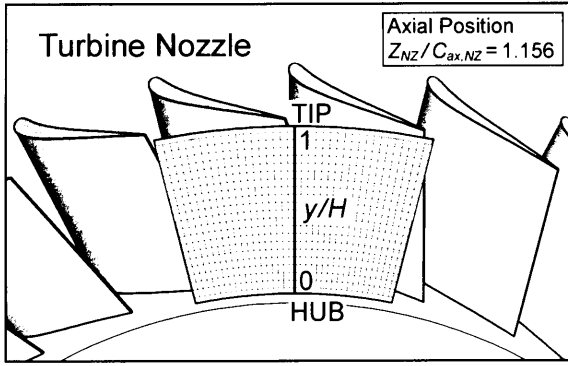
付図 2.27 レイノルズ数 $Re_{out,NZ} = 18.0 \times 10^4$, 主流乱れ度 $Tu_{in} = 3.9\%$, チップクリアランス $k/H = 0.00\%$ における静翼出口流れの測定結果 ($Z_{NZ}/C_{ax,NZ} = 1.156$)



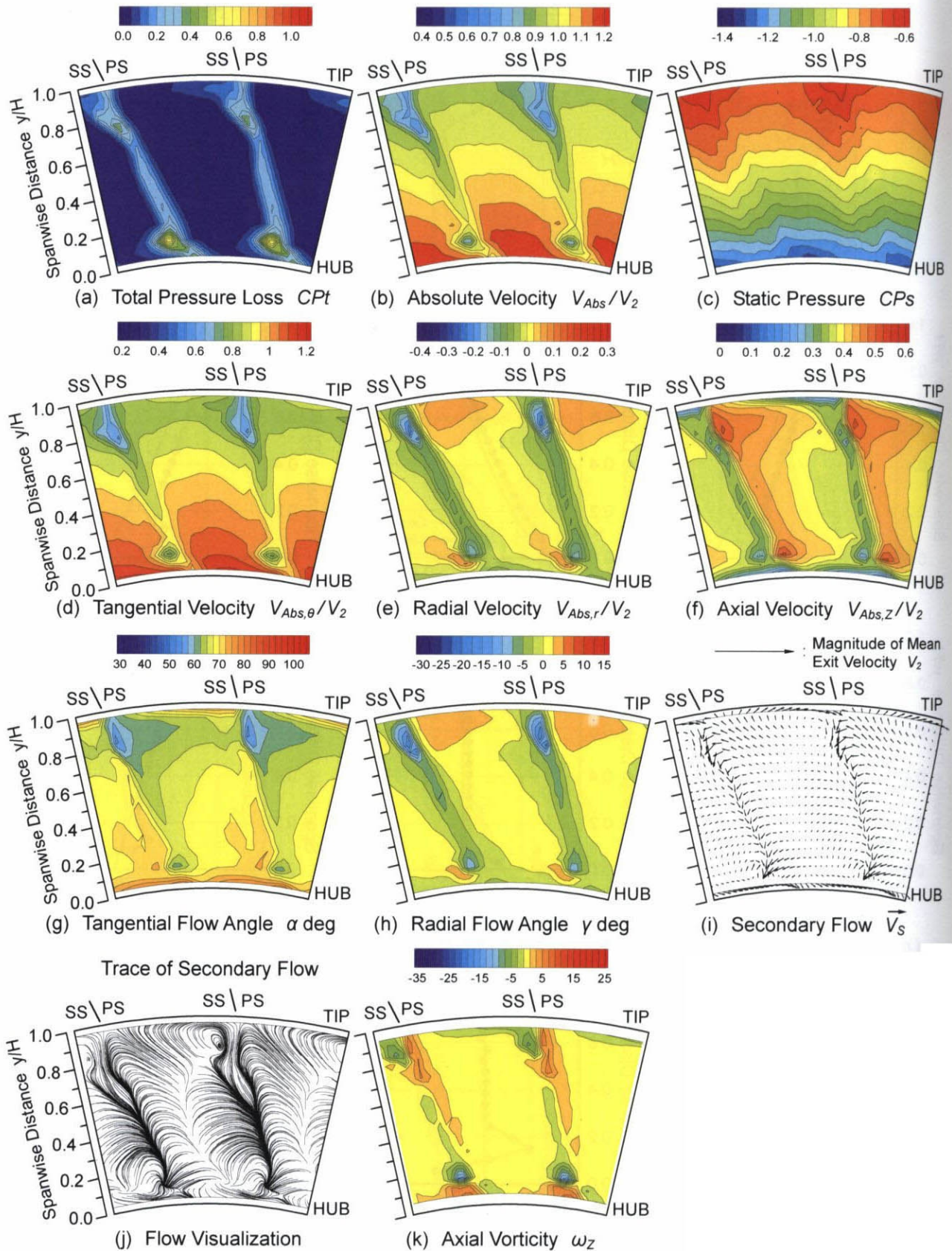
付図 2.28 レイノルズ数 $Re_{out,NZ} = 18.0 \times 10^4$, 主流乱れ度 $Tu_{in} = 3.9\%$, チップクリアランス $k/H = 0.00\%$ における静翼出口流れの半径方向分布



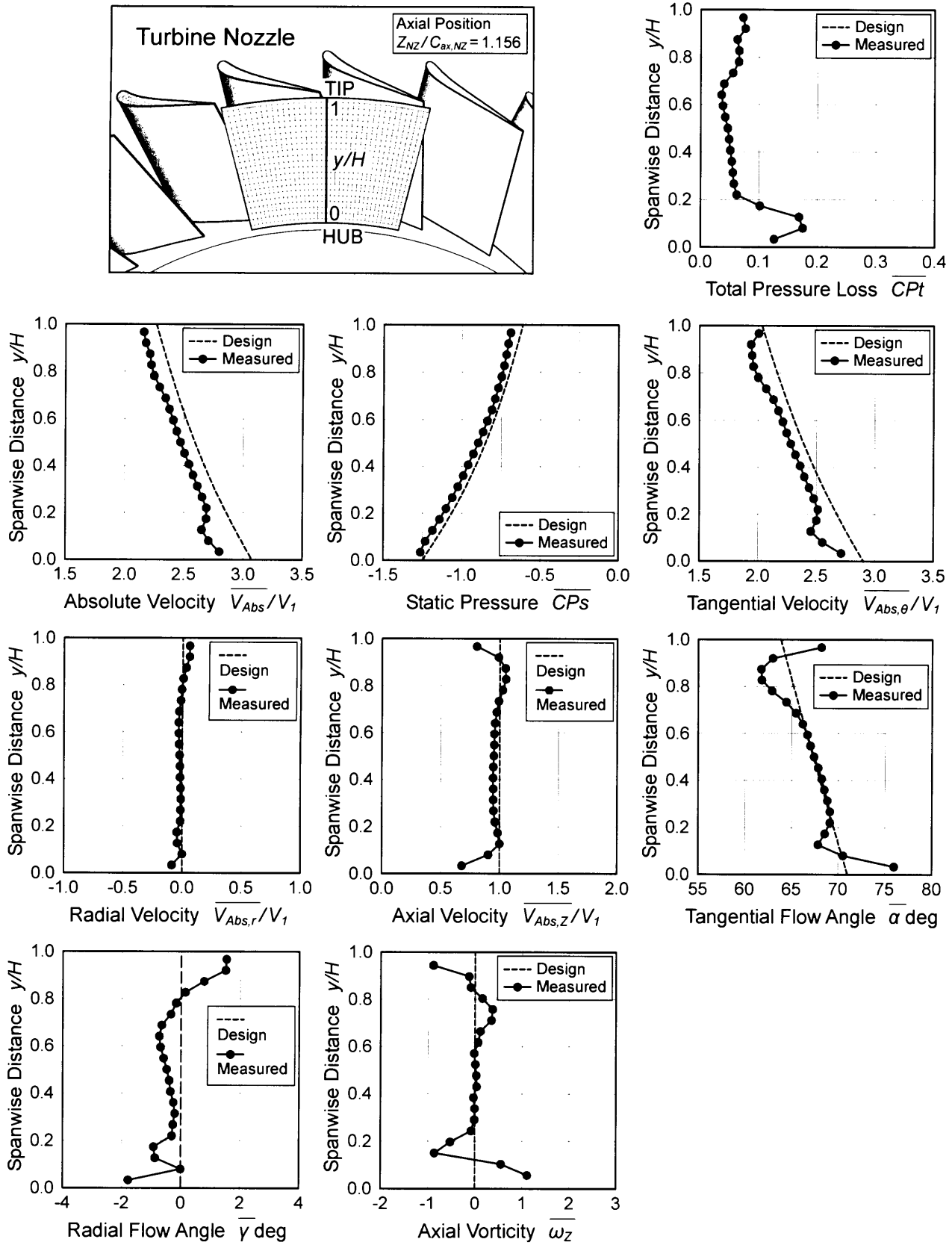
付図 2.29 レイノルズ数 $Re_{out,NZ}=4.3 \times 10^4$, 主流乱れ度 $Tu_{in}=6.0\%$, チップクリアランス $k/H=0.00\%$ における静翼出口流れの測定結果 ($Z_{NZ}/C_{ax,NZ}=1.156$)



付図 2.30 レイノルズ数 $Re_{out,NZ} = 4.3 \times 10^4$, 主流乱れ度 $Tu_{in} = 6.0\%$, チップクリアランス $k/H = 0.00\%$ における静翼出口流れの半径方向分布



付図 2.31 レイノルズ数 $Re_{out,NZ} = 8.8 \times 10^4$ ，主流乱れ度 $Tu_{in} = 6.1\%$ ，チップクリアランス $k/H = 0.00\%$ における静翼出口流れの測定結果 ($Z_{NZ}/C_{ax,NZ} = 1.156$)



付図 2.32 レイノルズ数 $Re_{out,NZ} = 8.8 \times 10^4$, 主流乱れ度 $Tu_{in} = 6.1\%$, チップクリアランス $k/H = 0.00\%$ における静翼出口流れの半径方向分布